

論 文  
14-6-2

# TRIGA Mark-II 原子爐의 動特性 解析

## (Dynamic Analysis of TRIGA Mark-II Reactor)

李 亮 秀\* 金 憲 珪\*\* 金 鍾 贊\*\*\*  
(Yang Soo Lee · Heon Kak Kim · Jong Chan Kim)

### ABSTRACT

The TRIGA Mark-II Reactor is very simple to analyze the dynamic characteristics, so that the heat transfer function of the reactor fuel rod is able to be considered as a over-all feedback transfer function. The heat transfer dynamics of the fuel rod is derived under some assumptions. And the over-all reactor transfer function is analytically calculated and it is compared with the measured value. The reactor dynamics and the stability are analyzed by means of the Root-Locus and the Nyquist.

### 1. 序 論

TRIGA Mark-II 原子爐는 速應 負溫度係數(Prompt Negative Temperature Coefficient)가 恒常 維持 되도록 設計되었으며,<sup>(1)</sup> 爆走 實驗에 依하여 絕對 安全함도 實證 되었고,<sup>(2)</sup> 原子爐 傳達函數(Reactor Transfer Function)도 그 實測值가 이미 報告 되었다.<sup>(3)</sup>

여기서는 原子爐 傳達函數의 理論的 根據를 提示하고 安定性 問題를 解析하고자 한다.

原子爐 傳達函數는 大別하여 Zero Power Reactor Kinetics (Forward Transfer Function)과 歸還傳達函數(Feedback Transfer Function)으로 區分할 수 있다. 이 TRIGA Mark-II 原子爐에 있어서는 歸還傳達函數는 燃料棒(Fuel Rod)의 負溫度效果만을 考慮할 수 있다. 勿論 Coolant의 溫度效果 및 空間效果(Void Effect)가 存在하나 燃料棒의 溫度效果에 比하여 無視할 수 있으므로<sup>(4)</sup> 이를 考慮 外에 두고 燃料棒의 過渡的 溫度變化에 對한 熱傳達函數(Heat Transfer Function)를 計算하여 歸還傳達函數로 代身 하였다.

### 2. 熱傳達 動特性

原子爐에 使用된 燃料棒은 91 o/w Zr-8 o/w U-1 o/w H의 均質한 圓筒型으로써 20% 濃縮 Uranium을 使用하고 길이 14 inch, 直徑 1.42 inch의 모양으로 되어 있다.<sup>(5)</sup>(그림 1)

燃料棒의 軸方向 熱傳達를 無視하고 熱이 均一하게 發生한 燃料棒內의 熱흐름 方程式은<sup>(6)</sup>

$$\frac{d^2}{dr^2} [T(r,t)] + \frac{1}{r} \frac{d}{dr} [T(r,t)] + \frac{P(t)}{K} = \frac{1}{k} \frac{d}{dt} [T(r,t)] \quad (1)$$

처음에 原子爐가 安定狀態에 있어서 燃料棒, Cladding Material 및 Coolant 등이 熱平衡狀態에 있다고 假定한다. 이와 같이 原子爐가 一定한 Power Level로 運轉되고 있을때 過渡的으로 外部 또는 內部的 影響으로 Reactivity의 變化가 發生하였다면 燃料棒의 溫度變化에 比하여 Coolant의 溫度變化는 無視할 수 있으며(過渡的 現象에 限하여) Thermal Parameter亦是 一定하다고 生覺할 수 있다. 한편 溫度函數  $T(r,t)$ 는 時空變數  $t$  및  $r$ 에 對하여 分離할 수 있는 函數라고 假定하여 式 (1)을 Laplace

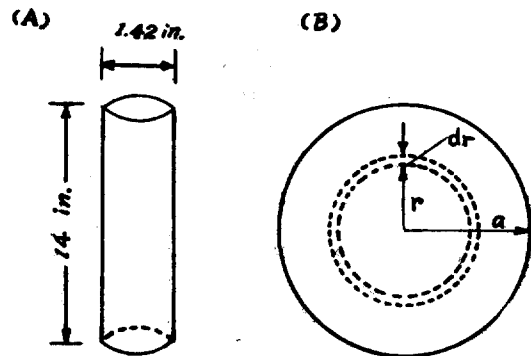


그림 1. 燃料棒  
(Fig. 1. Fuel Rod)

(A) 크기 (B) 斷面積

\* \* \* \* \* 原子力研究所 電子工學研究室  
Electronics Division,  
Atomic Energy Research Institute

變換하면,

$$\frac{d^2}{dr^2} [T(r,s)] + \frac{1}{r} \frac{d}{dr} [T(r,s)] + \frac{P(s)}{K} = \frac{1}{k} s [T(r,s)] \quad (2)$$

但 \$s\$ 는 Laplacian Operator 이며 \$T(r,s)\$ 및 \$P(s)\$ 는 \$T(r,t)\$ 및 \$P(t)\$ 를 各各 Laplace 變換한 것으로 定義한다. 또 初期値는 無視한다.

式 (2)의 一般解는(7)

$$T(r,s) = AI_0(qr) + BK_0(qr) + \frac{P(s)}{Kq^2} \quad (3)$$

但 \$I\_0(qr)\$ 및 \$K\_0(qr)\$ 는 零次의 第 1種 및 第 2種 Modified Bessel Function 이며 \$A\$ 및 \$B\$ 는 積分常數로 \$s\$ 의 函數이고 \$q^2 = \frac{s}{k}\$ 이다.

境界條件으로 燃料棒의 表面에서

$$\left\{ -\frac{d}{dr} [T(r,t)] \right\}_{r=a} = h \{ [T(a,t) - T_w] \} \quad (4)$$

式 (4)을 滿足하여야 하며 燃料棒 中心軸에서의 溫度는 有限이어야 하고 連續이어야 하며 中心軸에 對하여 對稱이어야 한다.

$$\text{即 } \left\{ \begin{array}{l} \frac{d}{dr} [T(r,t)] \Big|_{r=0} = 0 \\ [T(r,t)]_{r=0} = \infty \end{array} \right. \quad (5)$$

式(5)을 滿足하여야 한다.

式(4) 및(5)을 式(3)에 代入하여 積分常數를 求하면

$$\left. \begin{array}{l} A = -\frac{1}{qI_1(qa) + hI_0(qa)} \cdot \frac{P(s)}{Kq^2} \\ B = 0 \end{array} \right\} \quad (6)$$

式(6)을 式(3)에 代入하여 溫度分布를 求하면

$$T(r,s) = \left\{ 1 - \frac{hI_0(qr)}{qI_1(qa) + hI_0(qa)} \right\} \frac{P(s)}{Kq^2} \quad (7)$$

式 (7)은 燃料棒의 半徑 方向에 對한 溫度分布를 表示한다. \$r\$ 를 消去하기 爲하여 燃料棒의 平均溫度를 求하면

$$T(s) = \frac{2\pi \int_0^a [T(r,s)] r dr}{2\pi \int_0^a r dr} \quad (8)$$

式(8)에 式(7)을 代入 計算하면

$$T(s) = \frac{\left( q - \frac{2h}{qa} \right) I_1(qa) + hI_0(qa)}{qI_1(qa) + hI_0(qa)} \cdot \frac{P(s)}{Kq^2} \quad (9)$$

式(9)에 \$q^2 = \frac{s}{k}\$ 를 代入하여 整理하면

$$qI_1(qa) + hI_0(qa) = \frac{aq^2}{2} \sum_{n=0}^{\infty} \frac{(qa)^{2n}}{2^{2n}n!(n+1)!} + h \sum_{n=0}^{\infty} \frac{(qa)^{2n}}{2^{2n}(n!)^2}$$

$$\begin{aligned} &= \sum_{n=0}^{\infty} \left[ \frac{\left(\frac{q^2}{k}\right)^n s^n}{2^{2n}n!(n+1)!} \cdot \frac{as}{2k} \right. \\ &\quad \left. + \frac{\left(\frac{q^2}{k}\right)^n s^n}{2^{2n}(n!)^2} h \right] \\ &= \sum_{n=0}^{\infty} \frac{\left(\frac{q^2}{k}\right)^n s^n}{2^{2n}n!(n+1)!} \left[ \frac{as}{2k} + h(n+1) \right] \\ \left( q - \frac{2h}{qa} \right) I_1(qa) + hI_0(qa) &= \left( \frac{aq^2}{2} - h \right) \sum_{n=0}^{\infty} \frac{(qa)^{2n}}{2^{2n}n!(n+1)!} \\ &\quad + h \sum_{n=0}^{\infty} \frac{(qa)^{2n}}{2^{2n}(n!)^2} \\ &= \sum_{n=0}^{\infty} \frac{\left(\frac{q^2}{k}\right)^n s^n}{2^{2n}n!(n+1)!} ( \frac{as}{2k} + hn ) \end{aligned}$$

結果의 으로 式(9)는

$$T(s) = \frac{\sum_{n=0}^{\infty} \frac{\left(\frac{q^2}{k}\right)^n s^n}{2^{2n}n!(n+1)!} \left( \frac{as}{2k} + hn \right)}{\sum_{n=0}^{\infty} \frac{\left(\frac{q^2}{k}\right)^n s^n}{2^{2n}n!(n+1)!} \left( \frac{as}{2k} + hn + h \right)} \cdot \frac{k}{Ks} P(s) \quad (10)$$

即 式 (10)은 原子爐內의 中性子 出力에서 燃料棒의 平均溫度까지의 熱傳達函數라고 볼 수 있다.

### 3. Zero Power Reactor Kinetics

Point Reactor Kinetics 의 基本 方程式은(8)

$$\left. \begin{array}{l} \frac{dn}{dt} = \frac{\delta k - \beta}{l} n + \sum_{i=1}^6 \lambda_i c_i \\ \frac{dc_i}{dt} = -\frac{\beta_i}{l} n - \lambda_i c_i \end{array} \right\} \quad (11)$$

計算의 複雜性을 避하기 爲하여 Delayed Neutron 의 여러 Group 을 平均化 하여 한 個의 Group 으로 考慮하고 Small Perturbation Method 에 依하여 線型化하면

$$\left. \begin{array}{l} \frac{d\delta n}{dt} = \frac{n_0}{l} \delta k - \frac{\beta}{l} \delta n + \lambda \delta c \\ \frac{d\delta c}{dt} = -\frac{\beta}{l} \delta n - \lambda \delta c \end{array} \right\} \quad (12)$$

式 (12)는 原子爐의 어떤 一定한 Neutron Level \$n\_0\$ 에서의 微少變化(\$\delta n\$ 혹은 \$\delta c\$)를 表示하는 式이며 이 式을 Laplace 變換하여 \$\delta c\$ 를 消去하면

$$\frac{\delta n}{n_0} = \frac{1}{s \left( \frac{l}{\beta} + \frac{1}{s + \lambda} \right)} \cdot \frac{\delta k}{\beta} \quad (13)$$

但 Average Decay Constant(9)는

$$\frac{\beta}{\lambda} = \sum_{i=1}^6 \frac{\beta_i}{\lambda_i}, \quad \beta = \sum_{i=1}^6 \beta_i$$

에서 求할 수 있다. 式 (13)은 原子爐의 內部 또는 外部에 依한 Reactivity 變化에 對하여 變化하는 Neutron Flux 의 微少變化를 表示하는 傳達函數이다.

### 4. 原子爐 傳達函數

原子爐 傳達函數는 前述한 바와 같이 Zero Power Re-

actor Kinetics 와 歸還傳達函數로 區分할 수 있다. TRIGA 爐에 있어서 歸還傳達函數는 燃料棒의 溫度效果에 依한 Negative Reactivity Feedback 으로서 表示 할 수 있다. Coolant 의 Void Effect 는 全혀 沸騰이 發生치 아니하므로 BWR 인 境遇처럼 重要하지 않다. (10)

[1] Zero Power Reactor Transfer Function

式 (13)으로 부터

$$G(s) = \frac{\delta n/n_0}{\delta k/\beta} = \frac{1}{s \left( \frac{l}{\beta} + \frac{1}{s+\lambda} \right)} \quad (14)$$

[2] 歸還傳達函數

式 (10)으로 부터 電力對 溫度傳達函數의 比는

$$\frac{T(s)}{P(s)} = \frac{\frac{k}{Ks} \sum_{n=0}^{\infty} \frac{\left(\frac{a^2}{k}\right)^n s^n}{2^{2n} n! (n+1)! \left(\frac{as}{2k} + hn\right)}}{\sum_{n=0}^{\infty} \frac{\left(\frac{a^2}{k}\right)^n s^n}{2^{2n} n! (n+1)! \left(\frac{as}{2k} + hm + h\right)}} \quad (15)$$

式 (14) 및 (15)에 依한 原子爐 傳達函數의 Block di-

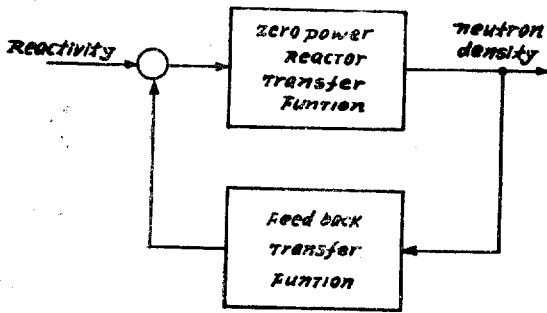


그림 2. 原子爐 傳達函數 (Fig. 2. Reactor Transfer Function)

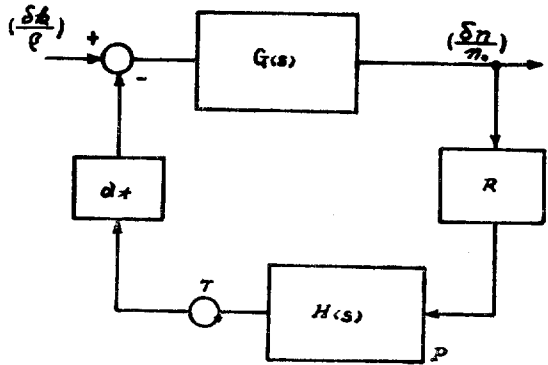


그림 3. 原子爐의 블럭線圖 (Fig. 3. Block Diagram of Reactor)

agram 은 그림 3과 같다. 그림 3에서  $\alpha_T$ 는 溫度係數이고 R는 Neutron Flux 對 電力比이다.

歸還傳達函數는

$$H(s) = \alpha_T \cdot R \frac{T(s)}{P(s)}$$

$$= \alpha_T \cdot \frac{R \cdot k}{K} \frac{\sum_{n=0}^{\infty} \frac{\left(\frac{a^2}{k}\right)^n s^n}{2^{2n} (n+1)! \left(\frac{as}{2k} + hn\right)}}{s \sum_{n=0}^{\infty} \frac{\left(\frac{a^2}{k}\right)^n s^n}{2^{2n} n! (n+1)! \left(\frac{as}{2k} + hm + h\right)}} \quad (16)$$

式(14) 및 (16)에 Reactor Parameter 를 代入 計算하면 式 (14)는

$$G(s) = \frac{\delta n/n_0}{\delta k/\beta} = \frac{s+0.77}{1.25 \times 10^{-2} s(s+80.077)} \quad (17)$$

式 (16)은 分子 分母를 各各 展開하여  $s^n$ 의 係數가  $10^{-10}$  程度 以下의 項을 無視하고 因數分解하면

$$H(s) = \frac{(\delta k/\beta)_T}{\delta n/n_0}$$

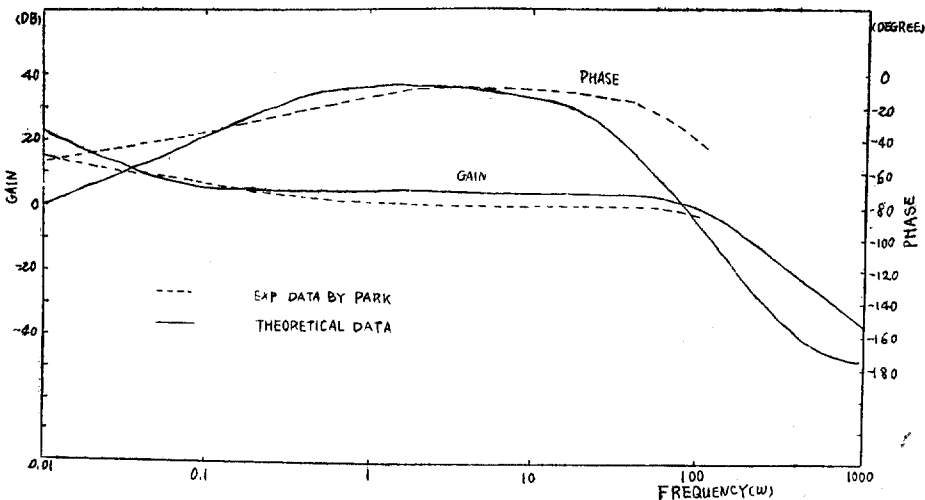


그림 4. 原子爐 傳達函數의 보드線圖 (Fig. 4. Reactor Transfer Function of Bode Diagram)

$$= 4.9318 \times 10^{-4} \times R \times \frac{(s + 0.737 \times 10^3 + 0.45 \times 10^3 i)}{(s + 1.250 \times 10^2)(s + 7.09 \times 10^2 + 4.87 \times 10^2 i)} \times \frac{(s + 0.737 \times 10^3 - 0.45 \times 10^3 i)}{(s + 7.09 \times 10^2 - 4.87 \times 10^2 i)} \quad (18)$$

但 R는 Neutron Flux 對 電力比로써 表 1 과 같다. (11)

表 1. Neutron Flux to Power Ratio

Power Level	Neutron Flux to Power Ratio (R)
100(kw)	$0.7734 \times 10^6$ (Kcal/m <sup>3</sup> -sec)
50 (//)	$0.3867 \times 10^6$ ( // )
10 (//)	$0.7734 \times 10^5$ ( // )

以上の式 (17) 및 (18)에 의한 原子爐 傳達函數는 그림 4에 있는 바와 같이 實測值와 比較할때 거의 一致함을 알 수 있다.

### 5. 安定性 解析

實驗<sup>(2)</sup>에 의하여서도 알 수 있는 바와 같이 이 原子

爐는 安定性에 對하여는 問題될 것이 없으나 求하여진 原子爐 傳達函數를 基礎로 하여 Nyquist Method와 根軌跡法에 依하여 그 動作 樣狀을 解析코져 한다. Nyquist Diagram은 그림 5에 보여진 바와 같이 各 Power Level에 있어서 位相交點(Phase Crossover)은 全혀 存在하지 않고 다만 軌跡은  $w = \infty$  일 때 原點으로 接近하고 있으므로 Gain Margin은 絶對的이라고 볼 수 있다. Phase Margin은 亦是  $w = \infty$  일 때 180°로 接近하고 있으며 負의 實軸에 全혀 交叉하지 아니 하므로 絶對 安定을 表示하고 있다. 根軌跡은 그림 6에 表示한 것처럼 根軌跡은 左 半平面上에만 存在하므로 Nyquist Diagram에서 본 바와 같이 安定을 表示하고 있다. 그리고 여기서 注意할 點은 振動項이 存在함을 볼 수 있다. 그러나 振動項의 減衰 時定數는 100 kw時 9.7msec이며 98% 減衰하기에 必要한 時間 38.8 msec은 振動의 週期 10 msec에 比하여 約 4倍 程度이므로 事實上 過渡의 振動現象은 나타나지 않는다. 이와 같은 現象은 實驗에 있어서도 나타나

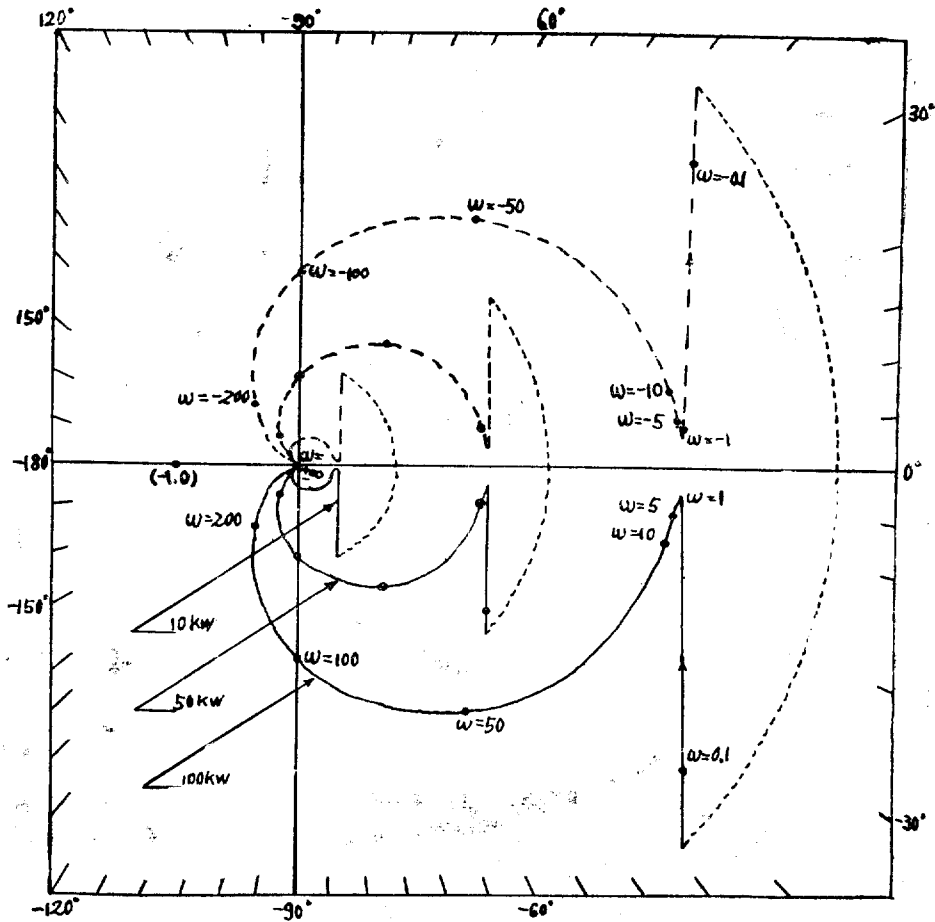


그림 5. 나이퀴스트 線圖  
(Fig. 5. Nyquist Diagram)

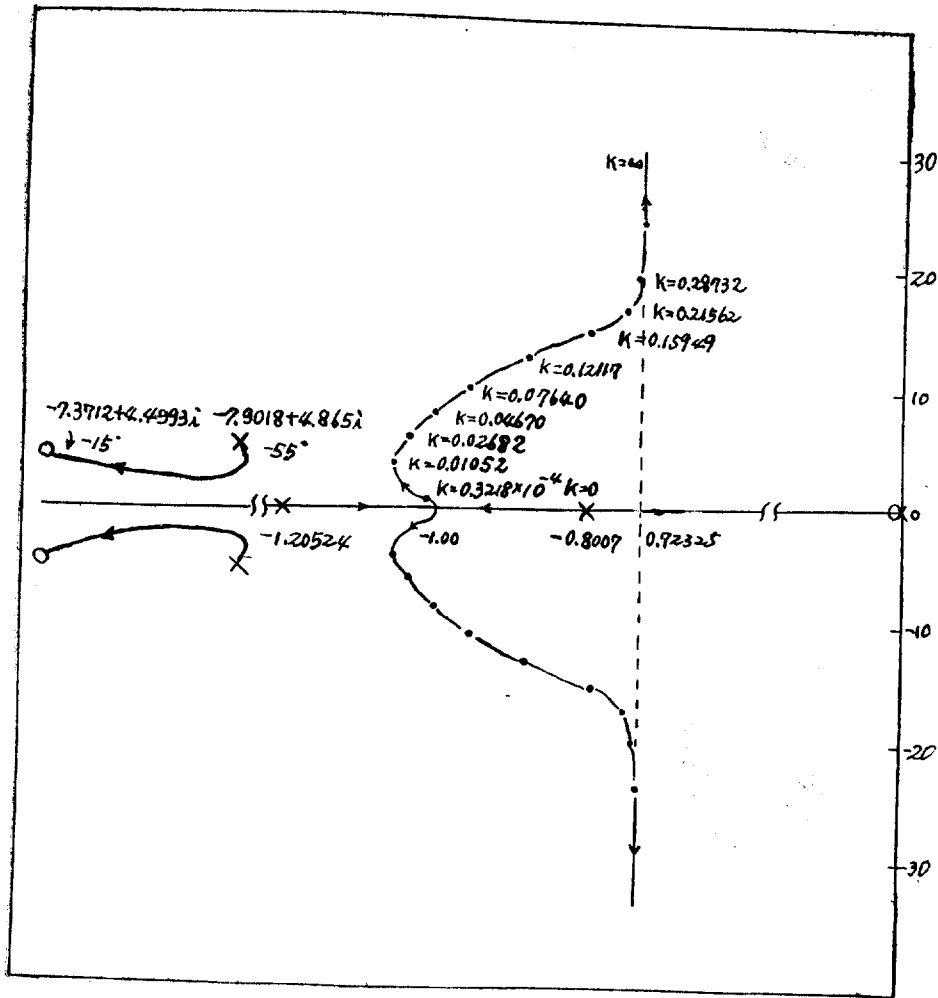


그림 6. 根軌跡  
(Fig. 6. Root Locus)

지 않으므로 잘 일치함을 알 수 있다.

6. 結 論

以上에서 記述한 바와 같이 誘導한 燃料棒의 熱傳達 動特性은 實驗과 잘 一致하며 앞으로 複雜한 動力用 原子爐에도 그대로 適用시킬 수 있음을 確信한다. 特히 燃料棒의 溫度效果에 依한 熱分布에 對하여서는 實測이 거 이 困難하므로 Spatial Direction 뿐만 아니라 軸方向도 考慮하여 計算한다면 燃料棒의 一部分에만 高溫이 되어 事故를 發生하는 일은 Coolant의 흐름을 適切하게 하므로 써 좀 더 細密하게 防止할 수 있을 것이다. 또한 根軌 跡法을 原子爐 安定性解析에 適用 한다면 原子爐의 過 渡의인 Mode를 解析할 수 있으며 原子爐 制御系統의 設計에 좋은 資料를 提供하여 주리라 믿는다.

記號 및 爐 定數

$a$ ; radius of fuel rod	=1.8	(cm)
$c$ ; specific heat of fuel rod	=0.1	$\left(\frac{\text{Kcal}}{\text{kg}^\circ\text{C}}\right)$
$h$ ; $=\frac{H}{K}$	=0.8	$\left(\frac{1}{\text{cm}}\right)$
$H$ ; heat transfer coefficient	$=2.6447 \times 10^{-5}$	$\left(\frac{\text{Kcal}}{\text{cm}^2 \text{sec}^\circ\text{C}}\right)$
$k$ ; thermal diffusivity of fuel rod	=0.0527	$\left(\frac{\text{cm}^2}{\text{sec}}\right)$
$K$ ; thermal conductivity of fuel rod	=0.195	$\left(\frac{\text{Watt}}{\text{cm}^\circ\text{C}}\right)$
$l$ ; effective prompt neutron life time	$=8 \times 10^{-5}$	(sec)
$\rho$ ; density of fuel rod	=6.296	$\left(\frac{\text{gr}}{\text{cc}}\right)$
$\beta$ ; fraction of delayed neutron	=0.0064	—
$\lambda$ ; decay constant of delayed neutron	=0.077	$\left(\frac{1}{\text{sec}}\right)$
$\alpha r$ ; reactor temperature coefficient	$=-1.3 \times 10^{-4}$	$\left(\frac{\delta k}{^\circ\text{C}}\right)$

$R$ ; neutron flux to power ratio  
 $r$ ; radius of fuel rod  
 $s$ ; Laplacian operator  
 $n$ ; neutron density  
 $t$ ; time  
 $P$ ; reactor fission power per unit volume  
 $T$ ; temperature of fuel rod  
 $T$ ; average temperature of fuel rod  
 $T_w$ ; Coolant temperature  
 $\delta k$ ; reactivity  
 $G(s)$ ; forward transfer function  
 $H(s)$ ; feedback transfer function

### 參 考 文 獻

- (1) S.L. Koutz and et al, "Design of a 10-KW Reactor for Isotope Production, Research and Training Purposes", 2nd U.N. Int. Conf. on Peaceful Uses of Atomic Energy, p/1017, 1958.
- (2) R.S. Stone and et al, "Transient Behavior of TRIGA, a Zirconium-Hydride, Water-Moderated Reactor", Nuclear Science and Engineering, Vol.6 pp. 255-259, 1959.
- (3) I.Y. Park, "TRIGA Mark-II Transfer function Measurement and the Dynamic Analysis", AERI E/R-1, Korea, March, 1963.
- (4) GA-660, "Potential Hazards Torrey Pines TRIGA Reactor", Feb., 1959.
- (5) U. Merten and et al, "The Preparation and Properties of Zirconium-Uranium-Hydrogen Alloys", 2nd U.N. Int. Conf on Peaceful Uses of Atomic Energy, p/789, 1958.
- (6) M. Iriarte, Jr., "An Accurate Transfer Function for the Dynamic Analysis of Temperature and Heat Release in Cylindrical Fuel Elements", Nuclear Science and Engineering. Vol. 7, pp. 26-32, 1960.
- (7) T.V. Kármán and M.A. Biot, "Mathematical Methods in Engineering", p. 61, McGraw-Hill, 1940. (Book)
- (8) S. Glasstone and G. Edlund, "The Elements of Nuclear Reactor Theory", D. Van Nostrand, 1952. (Book)
- (9) C.F. Bonilla, "Nuclear Engineering", p-216, McGraw-Hill, 1957. (Book)
- (10) Y.S. Lee, "Power Reactor Simulation, Considering the Void Fraction and the Water Flow in the Reactor Core", 大韓電氣學會誌, Vol. 13, No. 4, 1964.
- (11) Reference (9)과 同一, p. 184.

(1966年1月26日 接受)